

사상체질별 상안부의 형태학적인 특징에 관한 연구 -모아레의 횡단면의 특성을 중심으로-

홍석철*·이수경**·송일병**

A MORPHOLOGICAL STUDY OF UPPER FACE ACCORDING TO THE SA-SANG CONSTITUTION

Hong Suck-chull *, *Lee Su-kyung* **, *Song Il-byung* **

Dept. of Oriental Medicine of Wonkwang University, Iksan, Korea

* O.M.D., Ph.D, Prof. Dept. of Sa-sang Constitutional Medicine
College of Oriental Medicine Semyung University Jechun KOREA

** O.M.D., Ph.D, Prof. Dept. of Sa-sang Constitutional Medicine
College of Oriental Medicine KyungHee University Seoul 130-702 KOREA

1. Purpose :

This research is a study about constitutional diagnosis through the external appearances. especially it is for finding shape differences of the upper-face pictures of moire, according to the Sasang constitution

2. Method :

We have collected 113 cases of patients of the Sasang Constitutional Department, including employees of the Kyung-Hee Medical Center and took pictures of moire of upper face and measured 50 points. We analyzed shape differences of the upper face according to the Sasang constitution.

* 세명대학교 한의과대학 사상의학과

** 경희대학교 한의과대학 사상의학과

* 이 논문은 1996년 경희대학교 교비지원에 의하여 작성된 논문임.

3. Results :

Analysing the moire of upper face, the characteristics according to sasang constitution presented.

4. Conclusion :

Soyangin had a projected part of left upper face compared with taemin and soeumin, and taemin had a projected part of right upper face. With the image of moire, the characteristics of upper face according to sasang constitution was found.

Key word : Sasang constitution, Face and head, Morphologic characteristics, Moire.

요 약

1. 연구목적 : 외형적 특징을 통한 사상체질진단을 연구하기 위한 목적이다. 특별히 상안부에서 모아레 영상을 이용한 형태학적 차이를 찾고자 하였다.
2. 방 법 : 1996년 4월부터 1997년 2월까지 경희의료원 부속한방병원 왜래환자 및 직원을 대상으로 설문지 및 임상적치료 경과를 통하여 체질적 경향성이 뚜렷한 대상자를 선별하였다. 이들을 동일촬영 조건을 통하여 얻은 얼굴 사진중 형태특이자를 제외한 113례의 모아레 사진을 분석하여 50항목을 측정하고 70항목의 공식을 제작하여 체질별 상이점을 도출하였다.
3. 결 과 : 상안부 모아레 영상을 분석하여 체질에 따른 특징은 따로 도표로 제시한다.
4. 결 론 : 소양인은 태음인 혹은 소음인에 비하여 좌측상안의 일부가 전방으로 돌출되었고, 태음인은 좌우측 상안의 비교에서 우측상안의 일부부위에서 소음인 혹은 소양인에 비하여 전방으로 돌출되었다. 모아레 영상을 이용하여 체질에 따른 상안부의 형태학적인 특징을 도출하였다.

중심단어 : 사상체질, 두면부, 형태학적 특징, 모아레사진

I. 緒 論

東武 李濟馬는 1894년 東醫壽世保元을 저술하여 四象醫學을 제창하였다. 사상의학은 체질에 따라 생리적인 특징과 병리적인 특징이 다르고 치료와 양생법이 서로 다르게 적용되는 것이 특징이다. 따라서 체질간의 차이를 구체화하는 연구는 사상의학

의 발전적 측면에서 중요한 연구이다. 그간 다양하게 시도되어온 사상체질진단에 관한 研究^{1-12, 16)}도 이러한 맥락에서 체질별 차이를 구체화하고 객관화하고자하는 것이라 할 수 있다. 東武公이 제시한 體質辨證의 기준으로는 外形, 心性, 證(生理的, 病理的)등을 들 수 있다¹³⁻¹⁴⁾. 본 연구는 사상체질에 따른 上顔部의 형태학적인 특징을 도출하여 체질

진단의 지표로 활용하는데 그 목적을 두고 있다. 특별히 moire¹⁵⁾를 이용하여 육안적으로 구별하기 어려운 上顔部表面形狀의 3차원적 형태를 체질별로 구별화하는 연구이다. 上顔部에 다수의 계측점을 설정한후, 이를 이용하여 횡단면도를 그려서, 거기에 나타나는 체질에 따른 上顔部の 형태적 특징을 數値化하여 差異를 比較分析한 결과 몇가지 유의한 결과를 얻었기에 보고하는 바이다.

II. 研究方法

본 연구는 체질진단에 의하여 분류된 집단의 上顔部 moire 사진을 촬영하여 그 특성을 고찰한 것이다. 먼저 대상자의 체질진단은 설문지 및 임상적 관찰을 통하여 시행하였으며, 頭面部에 대한 moire의 계측은 간접측정 방법인 사진영상에 의한 방법으로 하였다.

1. 연구재료의 수집

1) 연구재료의 수집

1996년 4월부터 1997년 2월까지 경희대학교 부속한방병원 사상의학과에 내원한 외래환자 및 직원 250인을 1차분으로 수집하여 이중, 체질적 경향성이 모호한 자, 형태 특이자 등을 제외하고 계측이 용이한 등을 고려하여 113인을 선정하였다.

2) 연구대상자의 四象人別 性別分布

본 연구를 위하여 수집한 연구대상자의 性別 분포는 남자가 49명(43.3%), 여자가 64명(56.6%)이었다. 이를 사상체질별는 태음인이 44명 38.9%로 가장 많았고, 소양인이 38명 33.6%, 소음인이 31명 27.4% 순이었으며, 태양인은 대상자를 찾

<Table 1> Distribution of Sex

	Constitution			Total
	Taemin	Soeumin	Soyang	
Male	12	16	21	49
	(24.48%)	(32.65%)	(42.85%)	
	(27.27%)	(51.61%)	(55.26%)	(43.36%)
Female	32	15	17	64
	(50.00%)	(23.43%)	(26.56%)	
	(72.72%)	(48.38%)	(44.73%)	(56.63%)
Total	44	31	38	113
	(38.93%)	(27.43%)	(33.62%)	(100.00%)

수 없었다. 性別에 따른 四象人別 분포는 Table 1.에 제시하였다.

3) 연구대상자의 四象人體別 年齡分布

體質에 따른 연령분포를 살펴 보면, 太陰人은 평균연령이 49세이었으며, 소음인은 42세, 소양인은 52세로서 소음인의 평균연령이 낮았고, 전체적으로는 60대가 26.7%로 가장 많았다. 연령별 사상인 분포는 Table 2.에 제시하였다.

2. 체질진단방법 촬영방법 및 계측방법

1) 체질진단 방법

體質診斷을 위하여 四象體質 설문지^{1)번^{6,7,10,12)}} 및 QSCC에 의한 사상체질분류진단^{8,9,11)}, Computer program에 의한 사상체질진단⁴⁾, 藥診 및 針診²⁾ 등 임상적 검증을 통한 사상체질진단 등을 거쳐 사상의학을 전공한 전문의의 판정에 의하여 體質을 분류하였다.

2) 촬영방법

三次元的 최적의 頭顔部 映像을 얻어 비교 분석하기 위하여 촬영방법을 同一化하여 표준화된 조건

<Table 2> Distribution of Age

Age	Constitution			Total
	Taeumin	Soeumin	Soyangin	
20-29	8	10	4	22
	(36.36%)	(45.45%)	(18.18%)	
	(21.62%)	(35.71%)	(11.11%)	(21.78%)
30-39	2	3	4	9
	(22.22%)	(33.33%)	(44.44%)	
	(5.40%)	(10.71%)	(11.11%)	(8.91%)
40-49	6	6	7	19
	(31.57%)	(31.57%)	(36.84%)	
	(16.21%)	(21.42%)	(19.44%)	(18.81%)
50-59	9	3	6	18
	(50.00%)	(16.66%)	(33.33%)	
	(24.32%)	(10.71%)	(16.66%)	(17.82%)
60-69	11	5	11	27
	(40.74%)	(18.51%)	(40.74%)	
	(29.72%)	(17.85%)	(30.55%)	(26.73%)
70	1	1	4	6
	(16.66%)	(16.66%)	(66.66%)	
	(2.70%)	(3.57%)	(11.11%)	(5.94%)
Total	37	28	36	101
	(36.63%)	(27.72%)	(35.64%)	(100.00%)

을 정할 필요가 있다. 따라서 외부의 빛을 차단할 수 있는 촬영실을 만들고, 피사체와 카메라간의 거리 및 방향 설정, 노출정도, 셔터타임 등을 다양하게 만들어 비교 분석하여 측정에 필요한 최적조건을 선정, 표준화하여 시행하였다.

- ① 촬영거리 및 각도와 기법 : 피사체와 182cm의 거리에서 정면 moire(moire)영상등을 촬영하였다. 촬영시 피사체의 頭面部를 耳眼水平線에 맞추었다.
- ② 촬영조건 : 셔터시간 1/30초, 노출4.25, 500w의 조명을 182cm에서 조명을 설치하였

고 외부의 빛을 차단하였다.

- ③ 촬영용 카메라는 니콘 FM2 105mm 망원렌즈를 장착하여 사용하였다.

촬영용 moire slit는 縱으로 1.5mm의 검은색 금속선을 사용하여 실제의 등고 간격이 2mm가 되도록 하였다.

3) 측정방법 및 측정점

(1) 측정방법

측정은 확대한 사진상을 이용한 간접측정을 원칙으로 했다.

寫眞像의 측정은 일본제 노기스(Mitutoyo, DIGIMATIC, Japan)를 사용하고, 10분의 1mm까지의 정밀도를 지키고자 노력했다.

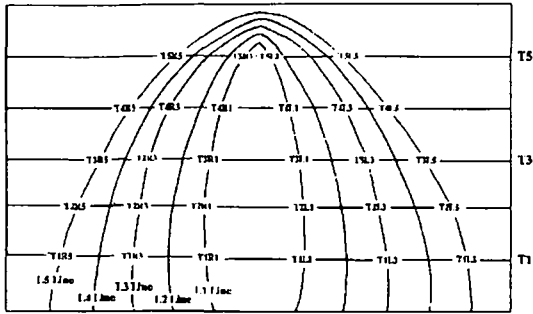
(2) 측정점의 설정, 측정항목

① 측정점의 설정법

사진상의 上顔部를 구획하여 측정점을 설정하기 위하여는 일정한 기준점과 구획간 거리를 설정하기 위한 기준이 필요하다. 상안의 고경부분은 발체부위에서 미간부까지로 하며, 폭경부는 좌우의 전액 폭의 사이로 설정하였다. 여기에 가상의 선을 긋고자 횡선의 하단과 종선의 중심을 미간점에 두었다. 이를 기준선으로 일정한 거리에 선을 그어야 하므로, 이 거리의 설정은 각 대상자의 좌우 동공점간 폭을 6등분한 거리를 구하여 전체 上顔部를 구획하였다.

② 측정항목

측정항목은 한 사람당 50항목을 설정했다. 그 내역은 眉間點을 횡단하는 제1선을 T1, 다음 선을 T2, T3, T4, T5의 5개의 횡단면을 긋고 이들과 moire선이 만나는 점의 횡측 좌표를 측정하기 위하여 미간점을 중심점으로 하는 선인 V0를 긋고



〈Fig. 1〉 상안부 등고선 측정점

이를 기준으로 인체의 좌측 상안에 동일한 거리마다 V1, V2, V3, V4, V5의 종선을 그어 설정하였고, 상안의 우측 제1선은 V-1, V-2, V-3, V-4, V-5로 설정하였다. 또한 발생되는 moire 선중 가장 중심으로부터 가까운 것을 L1, L2, L3, L4, L5로 설정하였다. 따라서 5개의 moire선과 횡적 구획선이 만나는 50개의 점을 설정하여 측정하였다. (Fig 1. 참조) 또한 이들 항목을 이용하여 좌우의 편차 및 이웃한 moire 선과의 거리를 구하고자 數式 70항목을 설정하여 분석하였다.

㉔ 측정점

- T1R5=L5와 T1 구획선이 만나는 上顔部の 우측 지점의 측정값.
- T1R4=L4와 T1 구획선이 만나는 上顔部の 우측 지점의 측정값.
- T1R3=L3와 T1 구획선이 만나는 上顔部の 우측 지점의 측정값.
- T1R2=L2와 T1 구획선이 만나는 上顔部の 우측 지점의 측정값.
- T1R1=L1와 T1 구획선이 만나는 上顔部的 우측 지점의 측정값.
- T1L1=L1와 T1 구획선이 만나는 上顔部的 좌측 지점의 측정값.

- T1L2=L2와 T1 구획선이 만나는 上顔部的 좌측 지점의 측정값.
- T1L3=L3와 T1 구획선이 만나는 上顔部的 좌측 지점의 측정값.
- T1L4=L4와 T1 구획선이 만나는 上顔部的 좌측 지점의 측정값.
- T1L5=L5와 T1 구획선이 만나는 上顔部的 좌측 지점의 측정값.
- T2R5=L5와 T2 구획선이 만나는 上顔部的 우측 지점의 측정값.
- T2R4=L4와 T2 구획선이 만나는 上顔部的 우측 지점의 측정값.
- T2R3=L3와 T2 구획선이 만나는 上顔部的 우측 지점의 측정값.
- T2R2=L2와 T2 구획선이 만나는 上顔部的 우측 지점의 측정값.
- T2R1=L1와 T2 구획선이 만나는 上顔部的 우측 지점의 측정값.
- T2L1=L1와 T2 구획선이 만나는 上顔部的 좌측 지점의 측정값.
- T2L2=L2와 T2 구획선이 만나는 上顔部的 좌측 지점의 측정값.
- T2L3=L3와 T2 구획선이 만나는 上顔部的 좌측 지점의 측정값.
- T1R5=L4와 T2 구획선이 만나는 上顔部的 좌측 지점의 측정값.
- T2L5=L5와 T2 구획선이 만나는 上顔部的 좌측 지점의 측정값.
- T3R5=L5와 T3 구획선이 만나는 上顔部的 우측 지점의 측정값.
- T3R4=L4와 T3 구획선이 만나는 上顔部的 우측 지점의 측정값.
- T3R3=L3와 T3 구획선이 만나는 上顔部的 우측 지점의 측정값.

T3R2=L2와 T3 구획선이 만나는 上顔部の 우측 지점의 측정값.
 T3R1=L1와 T3 구획선이 만나는 上顔部の 우측 지점의 측정값.
 T3L1=L1와 T3 구획선이 만나는 上顔部的 좌측 지점의 측정값.
 T3L2=L2와 T3 구획선이 만나는 上顔部的 좌측 지점의 측정값.
 T3L3=L3와 T3 구획선이 만나는 上顔部的 좌측 지점의 측정값.
 T3L4=L4 T3 구획선이 만나는 上顔部的 좌측 지점의 측정값.
 T3L5=L5와 T3 구획선이 만나는 上顔部的 좌측 지점의 측정값.
 T4R5=L5와 T4 구획선이 만나는 上顔部的 우측 지점의 측정값.
 T4R4=L4와 T4 구획선이 만나는 上顔部的 우측 지점의 측정값.
 T4R3=L3와 T4 구획선이 만나는 上顔部的 우측 지점의 측정값.
 T4R2=L2와 T4 구획선이 만나는 上顔部的 우측 지점의 측정값.
 T4R1=L1와 T4 구획선이 만나는 上顔部的 우측 지점의 측정값.
 T4L1=L1와 T4 구획선이 만나는 上顔部的 좌측 지점의 측정값.
 T4L2=L2와 T4 구획선이 만나는 上顔部的 좌측 지점의 측정값.
 T4L3=L3와 T4 구획선이 만나는 上顔部的 좌측 지점의 측정값.
 T4L4=L4와 T4 구획선이 만나는 上顔部的 좌측 지점의 측정값.
 T4L5=L5와 T4 구획선이 만나는 上顔部的 좌측 지점의 측정값.

T5R5=L5와 T5 구획선이 만나는 上顔部的 우측 지점의 측정값.
 T5R4=L4와 T5 구획선이 만나는 上顔部的 우측 지점의 측정값.
 T5R3=L3와 T5 구획선이 만나는 上顔部的 우측 지점의 측정값.
 T5R2=L2와 T5 구획선이 만나는 上顔部的 우측 지점의 측정값.
 T5R1=L1와 T5 구획선이 만나는 上顔部的 우측 지점의 측정값.
 T5L1=L1와 T5 구획선이 만나는 上顔部的 좌측 지점의 측정값.
 T5L2=L2와 T5 구획선이 만나는 上顔部的 좌측 지점의 측정값.
 T5L3=L3와 T5 구획선이 만나는 上顔部的 좌측 지점의 측정값.
 T5L4=L4와 T5 구획선이 만나는 上顔部的 좌측 지점의 측정값.
 T5L5=L5와 T5 구획선이 만나는 上顔部的 좌측 지점의 측정값.

⑥ 수 식

X51=T1R5-T1L5, X52=T1R4-T1L4
 X53=T1R3-T1L3, X54=T1R2-T1L2
 X55=T1R1-T1L1, X56=T2R5-T2L5
 X57=T2R4-T2L4, X58=T2R3-T2L3
 X59=T2R2-T2L2, X60=T2R1-T2L1
 X61=T3R5-T4L5, X62=T3R4-T4L4
 X63=T3R3-T4L3, X64=T3R2-T3L2
 X65=T3R1-T3L1, X66=T3R5-T3L5
 X67=T4R4-T4L4, X68=T4R3-T4L3
 X69=T4R2-T4L2, X70=T4R1-T4L1
 X71=T5R5-T5L5, X72=T5R4-T5L4
 X73=T5R3-T5L3, X74=T5R2-T5L2

X75=T5R1-T5L1, X76=T1L5-T1L4
 X77=T1L4-T1L3, X78=T1L3-T1L2
 X79=T1L2-T1L1, X80=T1R5-T1R4
 X81=T1R4-T1R3, X82=T1R3-T1R2
 X83=T1R2-T1R1, X84=T1R1+T1L1
 X85=T2R5-T2R4, X86=T2R4-T2R3
 X87=T2R3-T2R2, X88=T2R2-T2R1
 X89=T2L5-T2L4, X90=T2L4-T2L3
 X91=T2L3-T2L2, X92=T2L2-T2L1
 X93=T2R1+T2L1, X94=T3R5-T3R4
 X95=T3R4-T3R3, X96=T3R3-T3R2
 X97=T3R2-T3R1, X98=T3L5-T3L4
 X99=T3L4-T3L3, X100=T3L3-T3L2
 X101=T3L2-T3L1, X102=T3R1+T3L1
 X103=T4R5-T4R4, X104=T4R4-T4R3
 X105=T4R3-T4R2, X106=T4R2-T4R1
 X107=T4L5-T4L4, X108=T4L4-T4L3
 X109=T4L3-T4L2, X110=T4L2-T4L1
 X111=T4R1+T4L1, X112=T5R5-T5R4
 X113=T5R4-T5R3, X114=T5R3-T5R2
 X115=T5R2-T5R1, X116=T5L5-T5L4
 X117=T5L4-T5L3, X118=T5L3-T5L2
 X119=T5L2-T5L1, X120=T5R1+T5L1

3. 통계 및 분석

피검자의 體質診斷 결과와 上顔部의 제측에 적절한 113예를 SAS 6.12판 통계 프로그램으로 처리하였다. 체질별 수치의 비교는 ANOVA 검정을 하였다.

Ⅲ. 結果 및 考察

1. 結 果

저자는 四象人과 上顔部 形態와 상관관계를 정량적으로 찾아보기 위하여 moire 분석법을 표준화하고 이를 통하여 연구대상자들의 안면에 대하여 생체측학적 연구를 시행하여 다음과 같은 결과를 얻었다. 연구분석된 항목중 유의성이 있는 항목만 제시하였다.

1) 각 체질집단에 따른 항목별 계측치의 변량분석

사상인별 유의성 있는 차이를 나타낸 측정항목은 다음과 같다.

T1L2은 소양인이 태음인에 비하여 돌출된 것으로 나타났다. ($P < 0.05$)

T1L4은 소양인이 태음인에 비하여 돌출된 것으로 나타났다. ($P < 0.05$)

T1L5은 소양인이 태음인에 비하여 돌출된 것으로 나타났다. ($P < 0.01$)

T2L2은 소양인이 태음인에 비하여 돌출된 것으로 나타났다. ($P < 0.01$)

T2L3은 소양인이 태음인 및 소음인에 비하여 돌출된 것으로 나타났다. ($P < 0.001$)

T2L4은 소양인이 태음인 및 소음인에 비하여 돌출된 것으로 나타났다. ($P < 0.01$)

T2L5은 소양인이 태음인에 비하여 돌출된 것으로 나타났다. ($P < 0.001$)

T3L4은 소양인이 태음인에 비하여 돌출된 것으로 나타났다. ($P < 0.01$)

T3L5은 소양인이 태음인에 비하여 돌출된 것으로 나타났다. ($P < 0.001$)

T4L3은 소양인이 태음인에 비하여 돌출된 것으로

<Table 3> Analysis of moire of upper face

Unit ; 倍

Variables Group	Taeumin (44) ^{a)}	Soeumin (31)	Soyangin (38)	F-Ratio	Scheffe' Verification
T1L2	3.34±0.61 ^{b)}	3.36±0.45	3.63±0.50	3.43*	Soyangin > Taeumin
T1L4	4.44±0.47	4.51±0.33	4.73±0.51	4.33*	Soyangin > Taeumin
T1L5	4.81±0.47	4.92±0.38	5.18±0.48	6.80**	Soyangin > Taeumin
T2L2	2.87±0.50	3.02±0.40	3.24±0.43	6.57**	Soyangin > Taeumin
T2L3	3.44±0.38 ^{b)}	3.60±0.37	3.85±0.40	11.38***	Soyangin > Taeumin Soyangin > Soeumin
T2L4	3.95±0.34	3.98±0.75	4.34±0.44	6.70**	Soyangin > Taeumin Soyangin > Soeumin
T2L5	4.36±0.33	4.53±0.38	3.75±0.42	10.68***	Soyangin > Taeumin
T3L4	3.37±0.42	3.56±0.53	3.70±0.44	5.36**	Soyangin > Taeumin
T3L5	3.83±0.39	4.10±0.55	4.25±0.53	7.57***	Soyangin > Taeumin
T4L3	1.78±0.98	2.20±1.12	2.34±0.95	3.40*	Soyangin > Taeumin
T4L4	2.67±0.68	2.99±0.87	3.11±0.80	3.46*	Soyangin > Taeumin
T4L5	3.21±0.55	3.48±0.89	3.67±0.62	4.68*	Soyangin > Taeumin
T5L4	1.20±1.13	1.66±1.30	1.94±1.27	3.80*	Soyangin > Taeumin
T5L5	2.03±1.22	2.53±1.44	2.77±1.15	4.21*	Soyangin > Taeumin

a) ; frequency b) ; Mean±SD.

* ; Statistically significant compared with group data
(* : p<0.05, ** : p<0.01 and *** : p<0.001)

로 나타났다. (P<0.05)

T4L4는 소양인이 태음인에 비하여 돌출된 것으로 나타났다. (P<0.05)

T4L5는 소양인이 태음인에 비하여 돌출된 것으로 나타났다. (P<0.05)

T5L4는 소양인이 태음인에 비하여 돌출된 것으로 나타났다. (P<0.05)

T5L5는 소양인이 태음인에 비하여 돌출된 것으로 나타났다. (P<0.05)

2) 각 체질집단에 따른 계측방정식의 변량 분석

① 동일횡단선에서 동일 moire가 만나는 우측

과 좌측의 좌표편차에 따른 변량 분석

T5R4(우측)와 T5L4(좌측)의 편차는 태음인이 소음인에 비하여 돌출된 것으로 나타났다(P<0.05)

T5R3(우측)와 T5L3(좌측)의 편차는 태음인이 소양인에 비하여 돌출된 것으로 나타났다(P<0.05)

② 인접 등고선 사이의 편차에 따른 변량분석

上顔部の 동일 가로기준선에서 이웃한 등고선의 상하 편차에 따른 변량분석에서는 의미있는 차이가 없었다. (Table 4)

<Table 4> The right and left projection of upper face

Unit ; 倍

Variables Group	Taeumin (44) ^{a)}	Soeumin (31)	Soyangin (38)	F-Ratio	Scheffe' Verification
T5R4-T5L4	0.02±0.50 ^{b)}	-0.29±0.66	-0.29±0.67	3.42*	Taeumin > Soeumin
T5R3-T5L3	0.03±0.32	-0.20±0.56	-0.25±0.50	4.35*	Taeumin > Soyangin

a) ; frequency b) ; Mean±SD.

* ; Statistically significant compared with group data (* : p<0.05)

2. 고찰

上顔部에 나타나는 등고선의 형태가 사상체질에 따라 다르다는 보고가 있었다¹⁶⁾. 이 보고는 上顔部 등고선의 좌우편향을 단지 육안적으로 좌우의 편향성만을 관찰하여 체질별 경향성을 제시하였다. 금번 연구는 上顔部에 등분된 중횡의 구획을 정하고 중앙으로부터 발생하는 5개의 등고선을 취하였다. 이 등고선과 횡단면이 만나는 좌표를 구한 후 四象人에 따라 분석하였다. 또한 上顔部는 좌우가 닮은 꼴이지만 형태학적인 차이가 나타나므로 이를 비교하기 위하여 좌우의 동일지점의 좌표를 비교하였다. 또한 인접되는 등고선과의 관계를 비교하고자 이들 사이의 비교를 하였다.

첫째, 동일 횡단면 동일 등고선 좌표가 만나는 측정점의 사상인별 비교를 하여본 결과 T1L2, T1L4, T1L5, T2L2, T2L3, T2L4, T2L5, T3L4, T3L5, T4L3, T4L4, T4L5, T5L4, T5L5 등의 측정점에서 소양인이 태음인에 비하여 돌출되어 있는 것으로 나타났다. 이들 측정점은 모두 좌측에 있는 측정점이며 우측에는 체질별로 유의성 있는 항목이 없었다. 따라서 좌측 이마의 돌출은 소양인의 형태학적 특성을 나타내며 좌측이마의 함몰은 태음인의 특징을 나타낸다고 볼 수 있다. 그러나 T2L2, T2L3은 소음인에 비하여 소양인이 돌출되어 있는 결과로 보아 이 부분에서는 소음인 및 태음인이 소

양인에 비하여 이마가 함몰되어 있는 경향을 나타내고 있는 것을 알 수 있었다.

둘째, 동일 등고선이 동일 횡단면과 만나는 점으로 두점이 존재한다. 이들 두점사이를 비교하면 사상인별 이마의 좌우 돌출과 함몰의 편차를 알 수 있다. 이를 비교한 결과 T5R4(우측)에서 T5L4(좌측)을 뺀 편차는 소음인에 비하여 태음인이 우세하데 나타나고 있다. 따라서 이 지역에서 태음인의 우측이마는 좌측 이마에 비하여 돌출되어 있으며 소음인은 함몰되어 있다는 것을 알 수 있다. 즉 태음인은 우측이마에서 좌측이마의 등고선 높이 차의 평균은 0.02로 우측이마가 돌출되어 있는 것을 알 수 있으나 소음인은 -0.29로서 우측이마에 비하여 좌측이마가 돌출되어 있는 형태로 나타난다. 또한 T5R3(우측)에서 T5L3(좌측)의 편차는 소양인이 태음인에 비하여 우세하게 나타나고 있다. 따라서 태음인은 이 부위에서 소양인에 비하여 우측이 좌측에 비하여 돌출되어 있다는 것을 알 수 있다. 계측치를 보면 태음인은 0.03이나 소양인은 -0.25로 나타나고 있다.

IV. 결 론

사상인 체질진단의 기준은 外形, 心性, 證 등이다. 체질진단을 위한 진단지표의 확립은 이 학문의

발전적 측면에서 가장 중요한 일 중 하나이다. 이 연구는 외형을 계량화하여 체질별 특징을 객관화하고자 하였다. 대상자 113인(태음인 44명, 소양인 38명, 소음인 31명)의 上顔部에 나타나는 moire의 형태를 계량화하는 연구를 시행하여 ① 횡단면의 moire 좌표의 체질별 비교 ② 동일 횡단면에서 나타나는 동일 등고선의 좌우편차의 체질별 비교 ③ 동일 횡단면에서 이웃한 moire 좌표의 편차의 체질별 비교 등을 분석하여 체질별 上顔部의 형태학적인 특징에 관하여 다음과 같은 결론을 얻었다.

1. 동일 좌표에서 사상인별 분석 결과

T1L2, T1L4, T1L5, T2L2, T2L3, T2L4, T2L5, T3L4, T3L5, T3L3, T4L4, T4L5, T5L4, T5L5(모두 좌측부위) 등은 태음인에 비하여 소양인이 전방으로 돌출되어 나타났다.

T2L3, T2L4(모두 좌측부위) 등은 소음인에 비하여 소양인이 전방으로 돌출되어 나타났다.

2. 동일 횡단선에서 동일 moire가 만나는 좌우측 좌표편차의 사상인별 분석 결과

① T5R4와 T5L4의 편차에서 태음인은 소음인에 비하여 우측이 전방으로 돌출되어 나타났다.

T5R3와 T5L3의 편차에서 태음인은 소양인에 비하여 우측이 전방으로 돌출되어 나타났다.

참 고 문 헌

1. 朴奭彦 : 四象頭部觸診法, 서울, 醫林社, 147호 ; 62-64, 1982.
2. 李炳幸 : 針道遠流重磨, 서울, 杏林書院 ; 347-348, 1974.
3. 權度沅 : 大韓韓醫學會報 二十一號 ; 32-38, 1966.
4. 金樹凡, 高炳熙, 宋一炳 : 四象體質鑑別을 爲한 專門家 시스템의 知識베이스 構築을 爲한 研究, 慶熙大學校 大學院, 1989.
5. 許萬會, 高炳熙, 宋一炳 : 四象人의 形態學的 圖式化에 關한 研究, 慶熙大學校 大學院, 1991.
6. 高炳熙, 宋一炳 : 四象體質辨證 方法論研究(第二報), 大韓韓醫學會誌, 8(1) ; 139-160, 1987.
7. 高炳熙, 宋一炳 : 四象體質辨證에 對한 小考, 大韓韓醫學會誌 9호, 1985.
8. 金善豪 : 四象體質分類檢査(QSCC)의 妥當化研究, 大韓四象醫學會誌, 5(1) ; 61-80, 1993.
9. 章世圭, 高炳熙, 宋一炳 : 四象體質分類檢査(QSCC)評價方法의 妥當性 研究, 慶熙大學校 大學院 碩士學位論文, 1994.
10. 李義柱, 高炳熙, 宋一炳 : 四象辨證內容 設問調查紙(I)의 妥當化 研究, 서울, 慶熙大學校 論文集, 慶熙大學校 韓醫科大學, 1995.
11. 李廷燦, 高炳熙, 宋一炳 : 四象體質分類檢査의 準據妥當化 研究(性格要因檢査-16PF-와의 比較分析), 大韓四象醫學會誌, 5(1) ; 81-98, 1993.
12. 高炳熙, 宋一炳 : 四象體質辨證 方法論研究(第一報), 大韓韓醫學會誌, 8(1) ; 139-160, 1987.
13. 洪淳用, 李乙浩 : 四象醫學原論, 서울, 행림출판사 ; 142, 1985.
14. 李濟馬 : 東醫壽世保元, 서울, 杏林書院 ; 140, 1963.
15. 李鳳教 : 韓方診斷學(), 서울, 성보사 ; 31, 98-99, 1986.
16. 高炳熙, 洪錫喆, 宋一炳外 : 四象體質別 頭面部의 形態學的인 特徵, 四象醫學會誌, 8(1) ; 81-98, 1996.